



2020 第九届电工技术前沿问题学术论坛暨  
第十三届中国电工装备创新与发展论坛 (FAFEE2020)

# 计及超分辨率风电出力不确定性的 连续时间鲁棒机组组合

周博 艾小猛 方家琨 姚伟 文劲宇

华中科技大学 电气与电子工程学院

强电磁工程与新技术 国家重点实验室

2020年8月28日



主  
要  
内  
容

1、研究背景

2、连续时间鲁棒机组组合

3、求解方法

4、算例分析

5、结论与展望

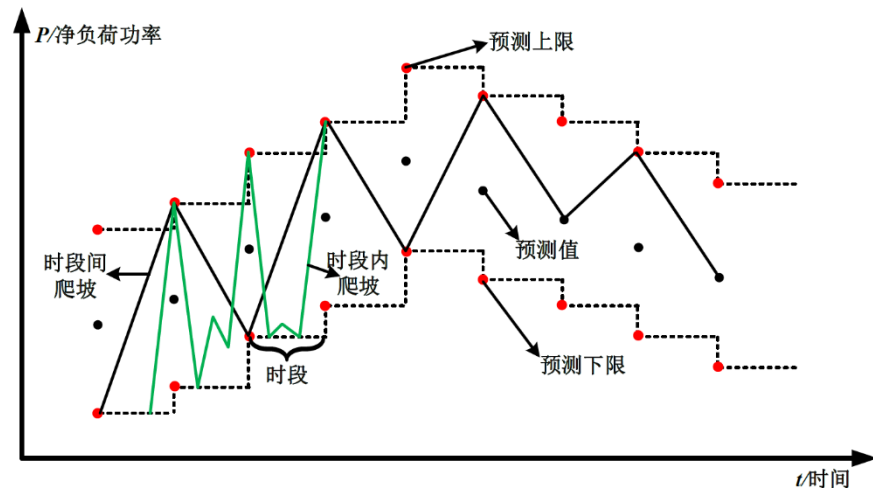
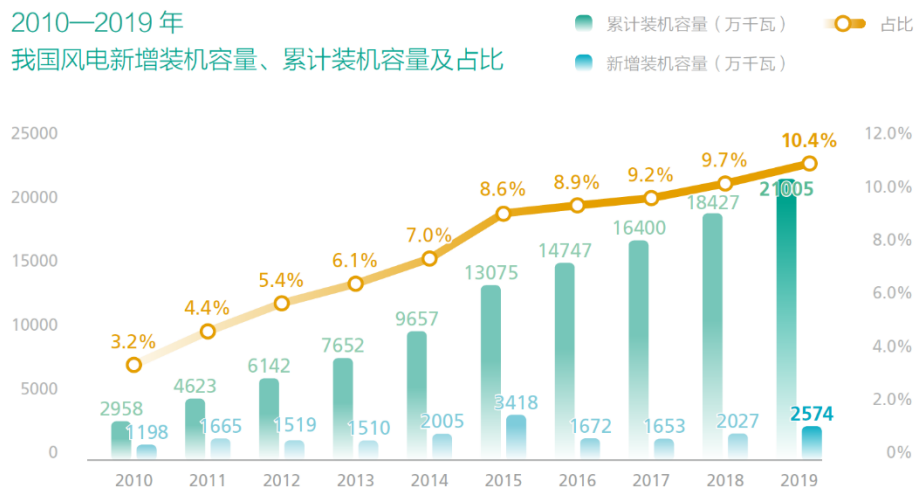
## 时段内波动

## 超分辨率不确定性

- 截止2019年底，全国新增风电并网装机2574万千瓦，**累计风电装机2.1亿千瓦**，约占全部发电装机的**10.4%**；2019年风电发电量4057亿千瓦时，约占全部发电量的5.5%。
- 随着风电渗透率的持续上升，其**时段内出力波动**愈发剧烈，可能导致时段内爬坡不足，威胁电力系统运行安全。
- 现有研究多考虑对调度时段的划分进行灵活调整，但多数文献在其调度分辨率下，**时段内部的变化仍然无法体现**，部分文献考虑了超出调度分辨率的随机变化，但考虑的变化类型较为单一，对时段内出力变化的描述不够灵活，**无法充分考虑超分辨率随机性**。

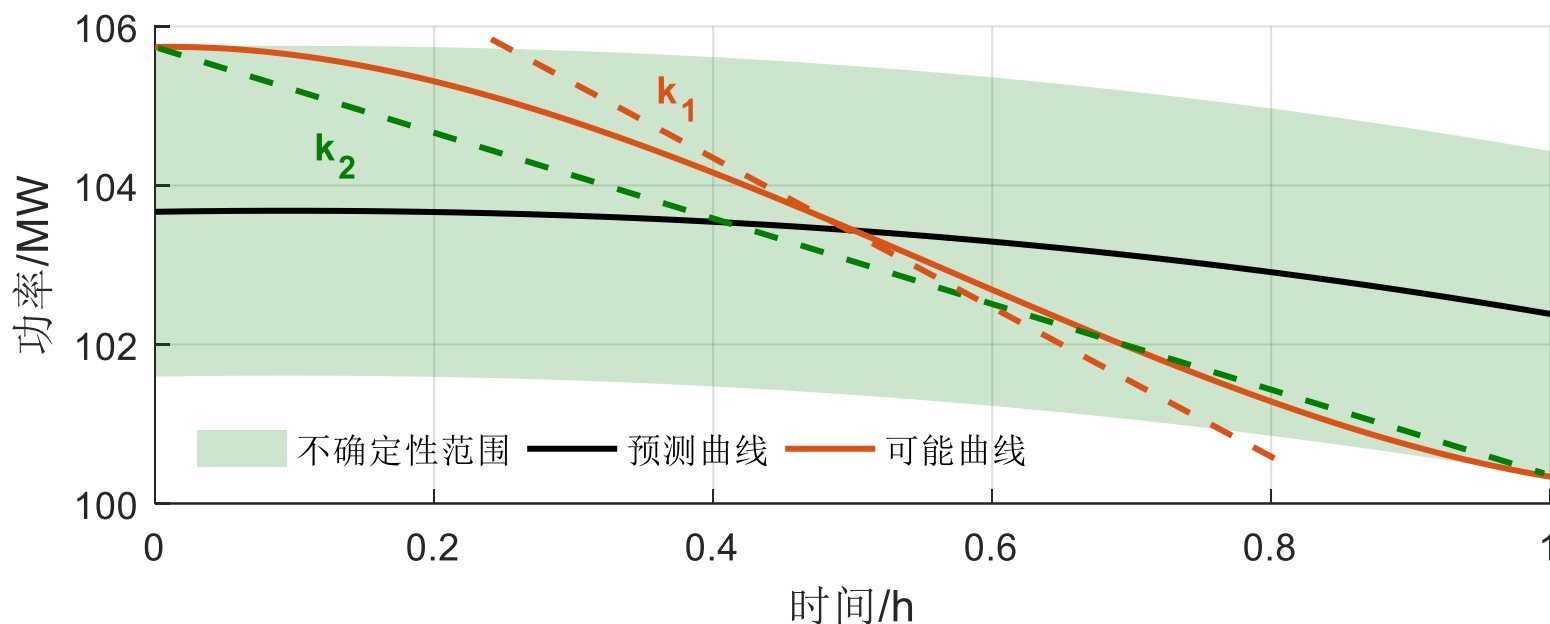
2010—2019年

我国风电新增装机容量、累计装机容量及占比



时段内波动

超分辨率不确定性



可能的某条实际风电曲线最大功率变化率为 $k_1$ ，传统调度能够计及的最大风电出力变化为 $k_2$ ， $|k_2| < |k_1|$ ，说明**考虑到的最大出力变化可能小于实际出力变化**，可能导致爬坡不足，从而影响实际运行安全。

如何将超分辨率风电出力不确定性纳入调度模型中，保证电力系统时段内的运行安全？

主  
要  
内  
容

1、研究背景

2、连续时间鲁棒机组组合

3、求解方法

4、算例分析

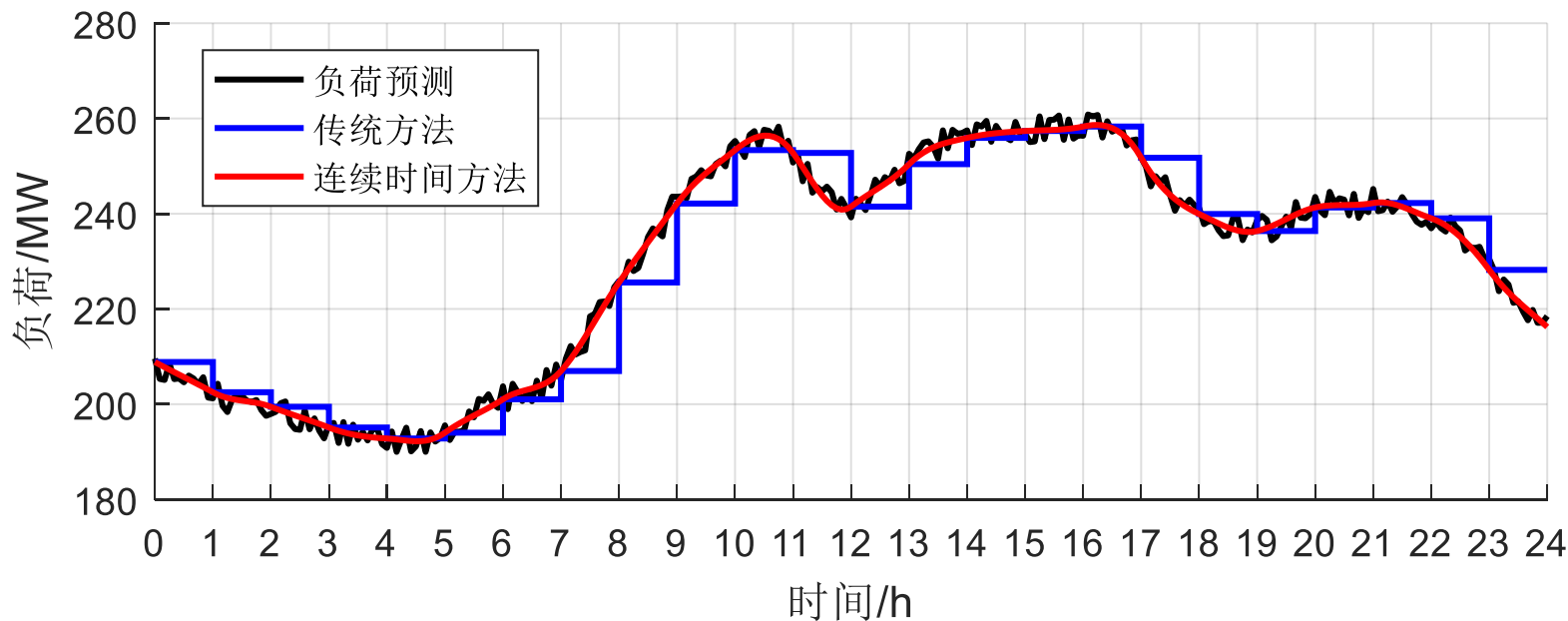
5、结论与展望

# 连续时间鲁棒机组组合

基本思路

连续时间机组组合

超分辨率随机性引入



- 传统调度方法

调度周期被**均匀划分**，并假定**每个时段功率值不变**，对预测负荷曲线的拟合程度较低，未充分利用预测信息且不能体现时段内的功率变化

- 连续时间建模方法

若采用**连续时间光滑曲线**来拟合预测负荷曲线，可以计及超出传统调度方法分辨率的时段内功率变化

## 基本思路

## 连续时间机组组合

## 超分辨率随机性引入

目标函数：启停成本+燃料成本

$$\min \sum_{t=1}^{24} \sum_i \int_0^1 (C_{uit}(\tau) + C_{dit}(\tau) + C_{fit}(\tau)) d\tau$$

约束条件：启停成本计算

$$C_{uit}(\tau) \geq 0, \quad C_{uit}(\tau) \geq c_{ui}(I_{git}(\tau^+) - I_{git}(\tau^-))$$

$$C_{dit}(\tau) \geq 0, \quad C_{dit}(\tau) \geq c_{di}(I_{git}(\tau^-) - I_{git}(\tau^+))$$

燃料成本分段线性化计算

$$\begin{cases} P_{git}(\tau) = P_{gi,\min} I_{git}(\tau) + \sum_{k=1}^{N_{pw}} p_{gitk}(\tau) \\ C_{fit}(\tau) = f_{i,\min} I_{git}(\tau) + \sum_{k=1}^{N_{pw}} \lambda_{ik} p_{gitk}(\tau) \end{cases}$$

启停时间约束

$$\begin{cases} \int_{\tau}^{\tau+T_{on}} I_{git}(\tau) d\tau \geq T_{on} (I_{git}(\tau^+) - I_{git}(\tau^-)) \\ \int_{\tau}^{\tau+T_{off}} (1 - I_{git}(\tau)) d\tau \geq T_{off} (I_{git}(\tau^-) - I_{git}(\tau^+)) \end{cases}$$

出力范围约束

$$\begin{cases} P_{gi,\min} I_{git}(\tau) \leq P_{git}(\tau) \leq P_{gi,\max} I_{git}(\tau) \\ 0 \leq p_{gitk}(\tau) \leq I_{git}(\tau) (P_{gi,\max} - P_{gi,\min}) / N_{pw} \end{cases}$$

爬坡约束

$$\begin{cases} (P_{git}(\tau))' \leq r_u I_{git}(\tau^-) + r_{su} (I_{git}(\tau^+) - I_{git}(\tau^-)) + M(1 - I_{git}(\tau^+)) \\ -(P_{git}(\tau))' \leq r_d I_{git}(\tau^+) + r_{sd} (I_{git}(\tau^-) - I_{git}(\tau^+)) + M(1 - I_{git}(\tau^-)) \end{cases}$$

功率平衡

$$\sum_i P_{git}(\tau) + \sum_i P_{wit}(\tau) = \sum_i D_{it}(\tau)$$

潮流约束

$$-P_{l\max,j} \leq \sum_i S_{ji} (P_{git}(\tau) + P_{wit}(\tau) - D_{it}(\tau)) \leq P_{l\max,j}$$

简写形式：连续时间优化，类似最优控制

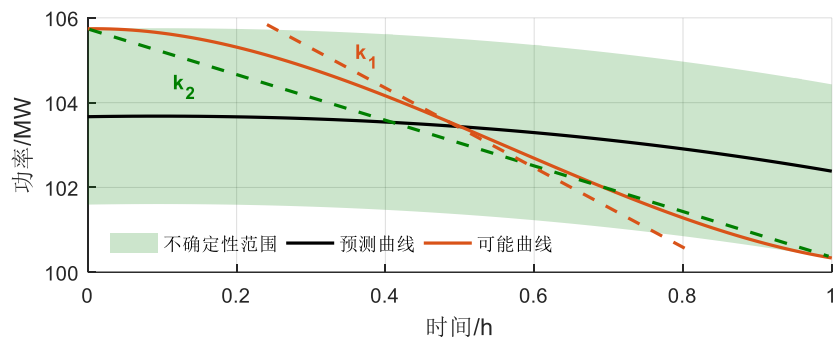
$$\begin{aligned} \min \quad & \sum_{t=1}^{24} \sum_i \mathbf{f}(\mathbf{x}(\tau)) \\ \text{s.t.} \quad & \mathbf{g}(\mathbf{x}(\tau), \mathbf{y}(\tau), \mathbf{u}(\tau)) \leq 0 \end{aligned}$$

# 连续时间鲁棒机组组合

基本思路

连续时间机组组合

超分辨率随机性引入



$$(1 - \xi)P_{wit}^E(\tau) \leq P_{wit}(\tau) \leq (1 + \xi)P_{wit}^E(\tau)$$

$$\min \sum_{t=1}^{24} \sum_i \mathbf{f}(\mathbf{x}(\tau))$$

$$\text{s.t. } \mathbf{g}(\mathbf{x}(\tau), \mathbf{y}(\tau), \mathbf{u}(\tau)) \leq 0$$

超分辨率随机性引入，鲁棒重构

$$\min \sum_{t=1}^{24} \sum_i \mathbf{f}(\mathbf{x}(\tau))$$

$$\text{s.t. } \mathbf{g}(\mathbf{x}(\tau), \mathbf{y}^E(\tau), \mathbf{u}^E(\tau)) \leq 0$$

$$\mathbb{X} = \left\{ \mathbf{x}(\tau) \left| \begin{array}{l} \forall \mathbf{u}(\tau) \in \mathbb{U}_\tau, \exists \mathbf{y}(\tau), \\ \text{满足 } \mathbf{g}(\mathbf{x}(\tau), \mathbf{y}(\tau), \mathbf{u}(\tau)) \leq 0 \end{array} \right. \right\}$$

复杂的连续时间优化问题，难以求解



主  
要  
内  
容

1、研究背景

2、连续时间鲁棒机组组合

3、求解方法

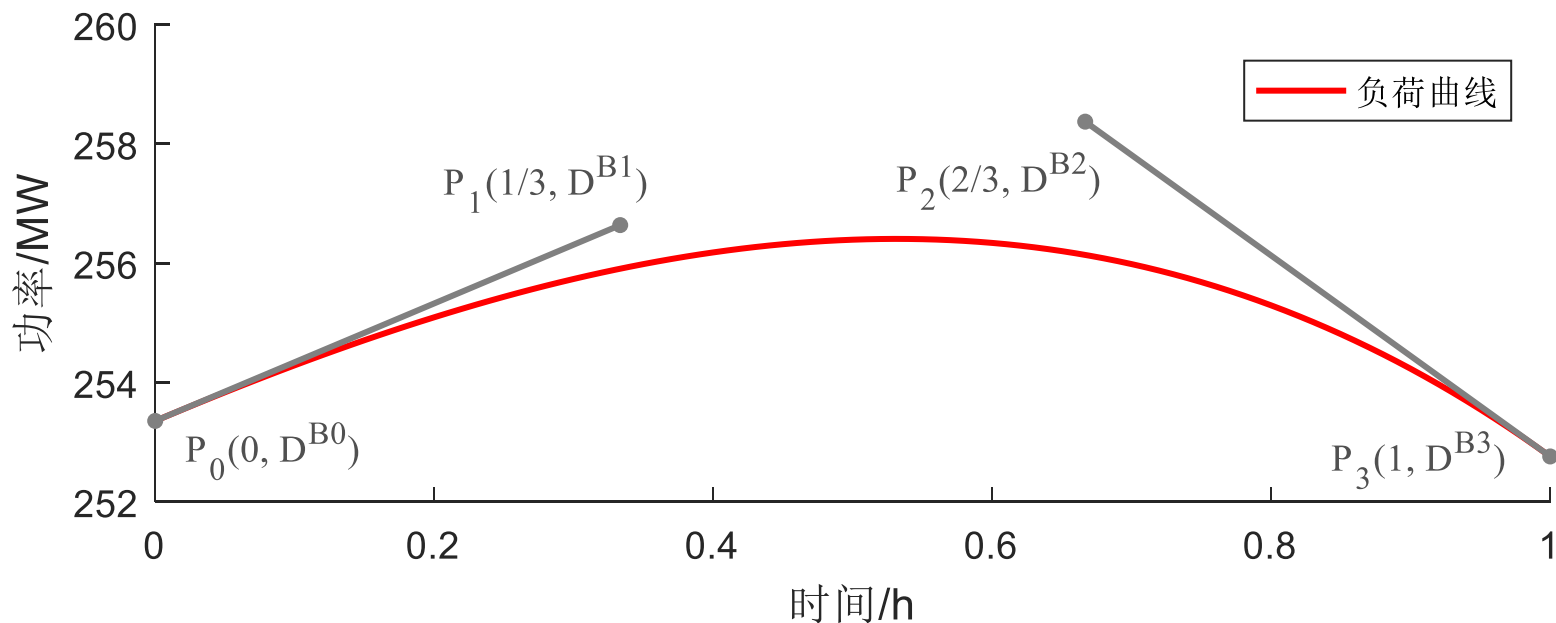
4、算例分析

5、结论与展望

BP插值

解空间变换

列和约束生成算法



## 三次Bernstein多项式 (BP) 插值

$$B_k(\tau) = C_3^k \tau^k (1-\tau)^{3-k}, \quad k = 0, 1, 2, 3, \quad \tau \in [0, 1]$$

$$D(\tau) = D^{B0} B_0(\tau) + D^{B1} B_1(\tau) + D^{B2} B_2(\tau) + D^{B3} B_3(\tau) = (D^B)^T B(\tau)$$

凸包性质:

插值曲线必然位于控制多边形内部

$$\begin{cases} D(0) = D^{B0}, & D'(0) = 3(D^{B1} - D^{B0}) \\ D(1) = D^{B3}, & D'(1) = 3(D^{B2} - D^{B3}) \end{cases}$$

$$\begin{cases} D^{B0} = D(0) \\ D^{B1} = D(0) + D'(0) / 3 \\ D^{B2} = D(1) - D'(1) / 3 \\ D^{B3} = D(1) \end{cases}$$

- **积分项变换**,  $D(\tau)$ 积分后与时间 $\tau$ 无关。

$$\int_0^1 D(\tau) d\tau = \int_0^1 (D^B)^T B(\tau) d\tau = (D^B)^T \int_0^1 B(\tau) d\tau = (D^{B0} + D^{B1} + D^{B2} + D^{B3}) / 4 = \mathbf{1}^T D^B / 4$$

- **导数项变换**,  $D(\tau)$ 的导数为降一阶后的Bernstein多项式插值曲线。

$$D'(\tau) = 3[D^{B1} - D^{B0}, D^{B2} - D^{B1}, D^{B3} - D^{B2}]^T \beta(\tau)$$

式中 $\beta_k(\tau) = C_2^k \tau^k (1 - \tau)^{2-k}$ ,  $k = 0, 1, 2$ ,  $\tau \in [0, 1]$ 为二次Bernstein多项式。

- **等式方程变换**。根据待定系数法, 可得

$$D(\tau) = 0 \Leftrightarrow (D^B)^T B(\tau) = 0 \Leftrightarrow D^{Bk} = 0$$

即若插值曲线恒等于0, 则其插值系数也都必为0。

- **不等式方程变换**。根据BP插值的凸包性质,  $\max\{(D^B)^T B(\tau)\} \leq \max\{D^{Bk}\}$ , 可得

$$D(\tau) \leq 0 \Leftrightarrow (D^B)^T B(\tau) \leq 0 \Leftrightarrow \max\{D^B\} \leq 0 \Leftrightarrow D^{Bk} \leq 0$$

即若要使插值曲线恒小于0, 可使插值系数小于0。

## BP插值

## 解空间变换

## 列和约束生成算法

$$(1 - \xi)P_{wit}^E(\tau) \leq P_{wit}(\tau) \leq (1 + \xi)P_{wit}^E(\tau) \quad \text{功率时间图中的带状范围}$$

BP插值

$$\begin{cases} P_{wit}^E(\tau) = (P_{wit}^{EB})^T B(\tau) \\ P_{wit}^B(\tau) = (P_{wit}^B)^T B(\tau) \end{cases}$$

$$\begin{cases} ((1 - \xi)P_{wit}^{EB} - P_{wit}^B)^T B(\tau) \leq 0 \\ (P_{wit}^B - (1 + \xi)P_{wit}^{EB})^T B(\tau) \leq 0 \end{cases}$$

凸包性质

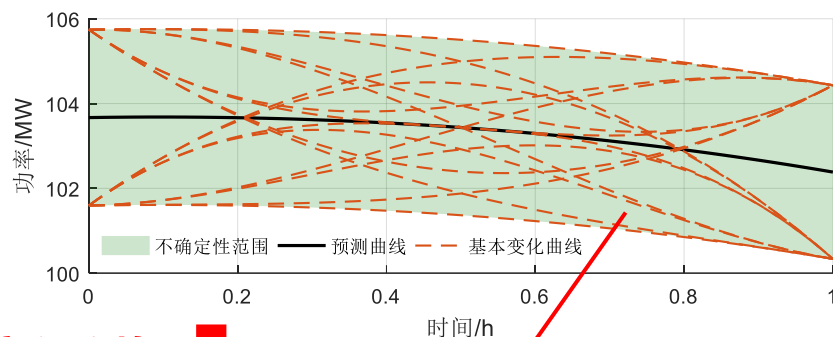
$$(1 - \xi)P_{wit}^{EB} \leq P_{wit}^B \leq (1 + \xi)P_{wit}^{EB}$$

顶点表达

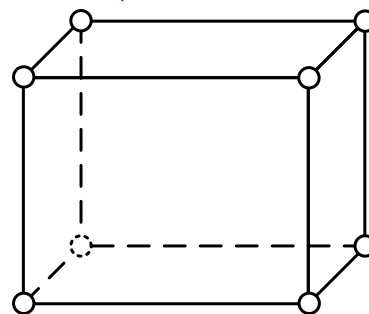
$$P_{wit,en}^B = \begin{cases} P_{wit,en}^{Bk} = P_{wit,en}^{EBk} + \alpha_k \xi P_{wit,en}^{EBk} - (1 - \alpha_k) \xi P_{wit,en}^{EBk} \\ n = 1 + \alpha_0 + 2\alpha_1 + 4\alpha_2 + 8\alpha_3, \alpha_k \in \{0, 1\} \\ k = 0, 1, 2, 3 \end{cases}$$

$$\begin{cases} P_{wit}^B = \sum_{n=1}^{16} \omega_n P_{wit,en}^B = [P_{wit,e1}^B \quad P_{wit,e2}^B \quad \dots \quad P_{wit,en}^B] \omega \\ \omega \geq 0, 1^T \omega \leq 1 \end{cases}$$

还原到原始代数空间



解空间变换



若能计及所有基本变化曲线，则可保证任意超分辨率变化下的系统安全。

$$\begin{aligned} P_{wit}(\tau) &= \omega^T [P_{wit,e1}^B \quad P_{wit,e2}^B \quad \dots \quad P_{wit,e16}^B]^T B(\tau) \\ &= \sum_{n=1}^{16} \omega_n \boxed{P_{wit,en}^B(\tau)} \quad \text{基本变化曲线} \end{aligned}$$

## BP插值

## 解空间变换

## 列和约束生成算法

### 目标函数

$$\min \sum_t \sum_i (C_{uit} + C_{dit} + C_{fit})$$

### 约束条件：启停成本计算

$$C_{dit} \geq 0, \quad C_{dit} \geq c_{di} (I_{git} - I_{gi(t+1)})$$

$$C_{uit} \geq 0, \quad C_{uit} \geq c_{ui} (I_{gi(t+1)} - I_{git})$$

### 燃料成本分段线性化

$$\begin{cases} P_{git}^B = P_{gi,\min} I_{git}^B + \sum_{k=1}^{N_{pw}} p_{gikt}^B \\ C_{fit} = f_{i,\min} \mathbf{1}^T I_{git}^B / 4 + \sum_{k=1}^{N_{pw}} \lambda_{ik} \mathbf{1}^T p_{gikt}^B / 4 \end{cases}$$

### 启停时间

$$\begin{cases} \sum_{k=t+1}^{t+T_{on}} I_{gik} \geq T_{on} (I_{gi(t+1)} - I_{git}) \\ \sum_{k=t+1}^{t+T_{off}} (1 - I_{gik}) \geq T_{off} (I_{git} - I_{gi(t+1)}) \end{cases}$$

### 出力范围

$$\begin{cases} P_{gi,\min} I_{git}^B \leq P_{git}^B \leq P_{gi,\max} I_{git}^B \\ 0 \leq p_{gik}(t) \leq I_{git}^B (P_{gi,\max} - P_{gi,\min}) / N_{pw} \end{cases}$$

### 爬坡约束

$$\begin{cases} 3(P_{git}^{B1} - P_{git}^{B0}) \leq r_u I_{git} \\ 3(P_{git}^{B2} - P_{git}^{B1}) \leq r_u I_{git} \\ \quad + r_{su} (I_{gi(t+1)} - I_{git}) + M(1 - I_{gi(t+1)}) \\ 3(P_{git}^{B3} - P_{git}^{B2}) \leq r_u I_{gi(t+1)} \\ -3(P_{git}^{B1} - P_{git}^{B0}) \leq r_d I_{git} \\ -3(P_{git}^{B2} - P_{git}^{B1}) \leq r_d I_{gi(t+1)} \\ \quad + r_{sd} (I_{git} - I_{gi(t+1)}) + M(1 - I_{git}) \\ -3(P_{git}^{B3} - P_{git}^{B2}) \leq r_d I_{gi(t+1)} \end{cases}$$

### 功率平衡

$$\sum_i P_{git}^B + \sum_i P_{wit}^B = \sum_i D_{it}^B$$

### 潮流约束

$$-P_{1\max,j} \leq \sum_i S_{ji} (P_{git}^{Bk} + P_{wit}^{Bk} - D_{it}^{Bk}) \leq P_{1\max,j}$$

### 一阶连续性约束

$$P_{(\cdot)it}^{B3} = P_{(\cdot)i(t+1)}^{B0}, \quad P_{(\cdot)it}^{B3} - P_{(\cdot)it}^{B2} = P_{(\cdot)i(t+1)}^{B1} - P_{(\cdot)i(t+1)}^{B0}$$

### 简写形式：MILP

$$\begin{aligned} \min \quad & \sum_{t=1}^{24} \sum_i Fx^B + Gy^B \\ \text{s.t.} \quad & Ax^B + By^B + Cu^B \leq H \end{aligned}$$

### 函数空间盒式集合

$$(1 - \xi) P_{wit}^{EB} \leq P_{wit}^B \leq (1 + \xi) P_{wit}^{EB}$$

### 鲁棒重构

$$\begin{aligned} \min \quad & \sum_{t=1}^{24} \sum_i Fx^B + Gy^{EB} \\ \text{s.t.} \quad & Ax^B + By^{EB}(\tau) + cu^{EB}(\tau) \leq H \\ \mathbb{X} = \left\{ x^B \mid \begin{array}{l} \forall u^B \in \mathbb{U}_t, \exists y^B, \\ \text{满足 } Ax^B + By^B + Cu^B \leq H \end{array} \right\} \end{aligned}$$

BP插值

解空间变换

列和约束生成算法

$$\begin{aligned} \min \quad & \sum_{t=1}^{24} \sum_i Fx^B + Gy^{EB} \\ \text{s.t.} \quad & Ax^B + By^{EB}(\tau) + cu^{EB}(\tau) \leq H \\ \mathbb{X} = & \left\{ x^B \mid \forall u^B \in \mathbb{U}_t, \exists y^B, \right. \\ & \left. \text{满足 } Ax^B + By^B + Cu^B \leq H \right\} \end{aligned}$$

分解

主问题MILP

$$\begin{aligned} \min \quad & \sum_{t=1}^{24} \sum_i Fx^{EB} + Gy^{EB} \\ \text{s.t.} \quad & Ax^B + By^{EB}(\tau) + cu^{EB}(\tau) \leq H \\ \mathbb{X} = & \left\{ x^B \mid \forall u^B \in \mathbb{U}_t^{MP}, \exists y^B, \right. \\ & \left. \text{满足 } Ax^B + By^B + Cu^B \leq H \right\} \end{aligned}$$

子问题max-min

$$\begin{aligned} \max \min_{u^B \in \mathbb{U}_t} \quad & 1^T \delta \\ \text{s.t.} \quad & Ax^{B*} + By^B + Cu^B \leq D + \delta, \quad \omega \end{aligned}$$

对偶变换

$$\begin{aligned} \max \quad & (H - Ax^{B*} - Cu^B)^T \omega \\ \text{s.t.} \quad & B^T \omega \leq 0, -\omega \leq 1, \omega \geq 0, \\ & (1 - \xi)u^{EB} \leq u^B \leq (1 + \xi)u^{EB} \end{aligned}$$

盒式集合

$$\begin{aligned} \max \quad & (H - Ax^{B*} - C(1 - \xi)u^{EB})^T \omega \\ & - 2\xi(u^{EB})^T \beta^T C^T \omega \\ \text{s.t.} \quad & B^T \omega \leq 0, -\omega \leq 1, \omega \geq 0 \end{aligned}$$

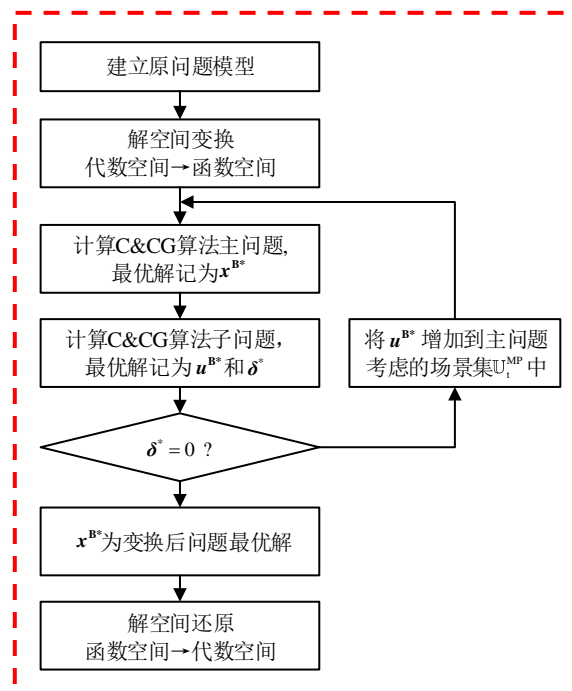
大M法

子问题MILP

$$\begin{aligned} \max \quad & (H - Ax^{B*} - C(1 - \xi)u^{EB})^T \omega - \sum_m 2\xi u_m^{EB} \gamma_m \\ \text{s.t.} \quad & B^T \omega \leq 0, -\omega \leq 1, \omega \geq 0 \\ & -M\beta_m \leq \gamma_m \leq M\beta_m \\ & -M(1 - \beta_m) + C_m^T \omega \leq \gamma_m \leq M(1 - \beta_m) + C_m^T \omega \end{aligned}$$

迭代求解

- 主问题：考虑部分极端场景，计算问题的解
- 子问题：校验主问题结果是否鲁棒，并找到主问题需考虑的极端场景



主  
要  
内  
容

1、研究背景

2、连续时间鲁棒机组组合

3、求解方法

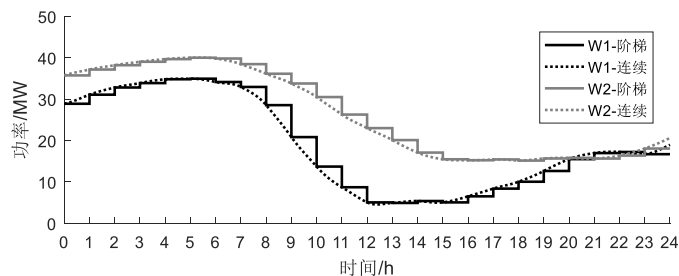
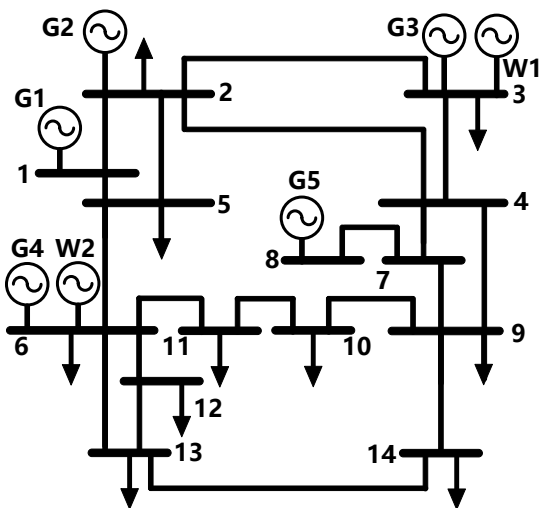
4、算例分析

5、结论与展望

## IEEE14节点系统

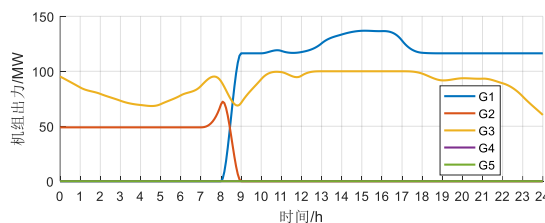
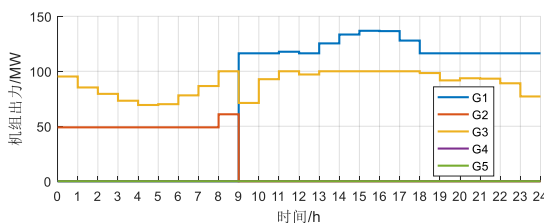
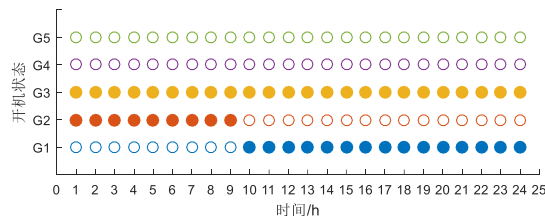
## IEEE RTS79系统

### ◆ 风电较小时



最大负荷259MW,  
风电总容量80MW, 预测误差15%

对比项	传统方法	所提方法
负荷电量/MWh	5516.88	5520.92
预测风电量/MWh	1097.40	1084.67
预测场景下机组发电量/MWh	4419.48	4436.25
预测场景下总成本/\$	150855.35	151248.18
预测场景下启停成本/\$	23620	23620
预测场景下燃料成本/\$	127235.35	127628.18
启停次数	2	2
机组在线时长/台时	48	48
鲁棒性	100%	100%



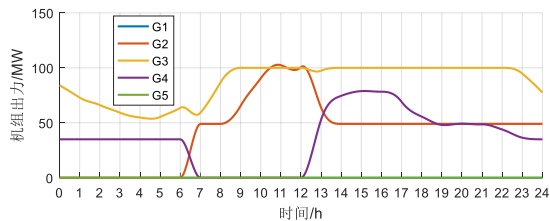
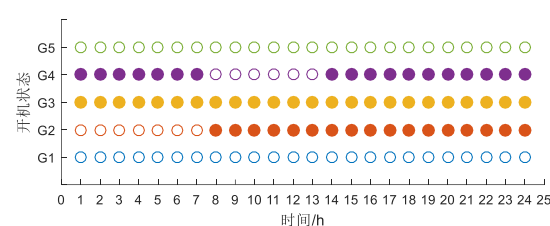
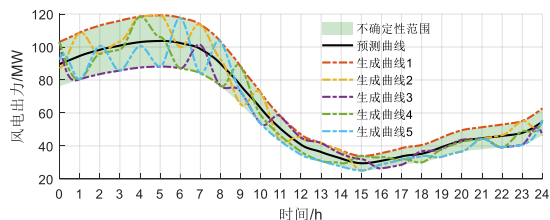
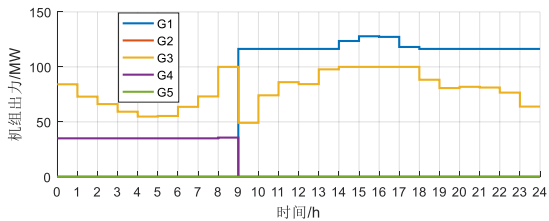
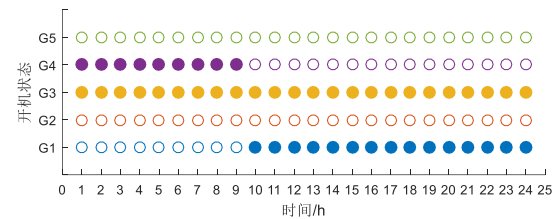
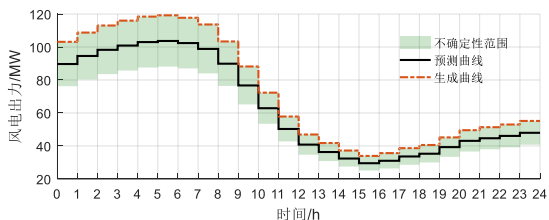
- 开机方式相同, 出力计划相近, 说明连续时间方法的正确性
- 鲁棒性100%, 说明风电较小时, 两种方法都能较好的应对随机性



## IEEE14节点系统

## IEEE RTS79系统

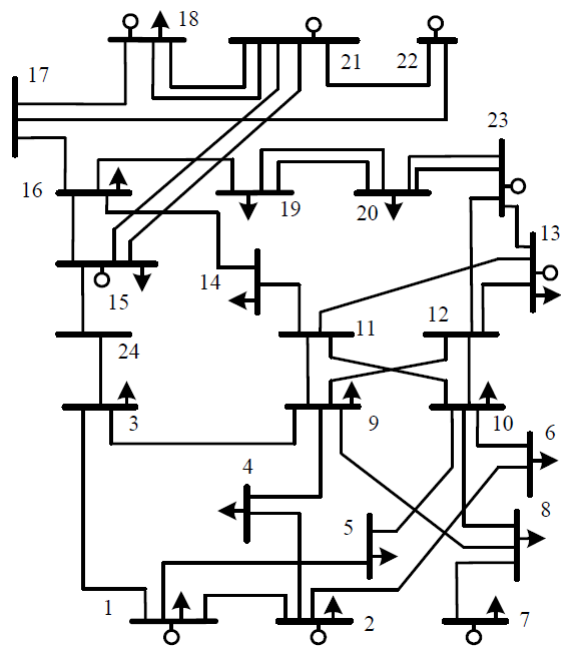
### ◆ 风电较大时 风电容量120MW时



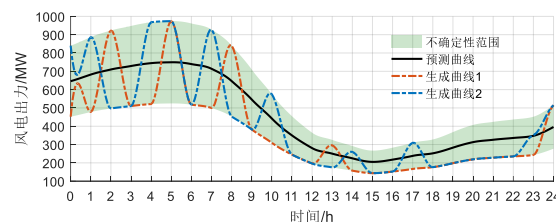
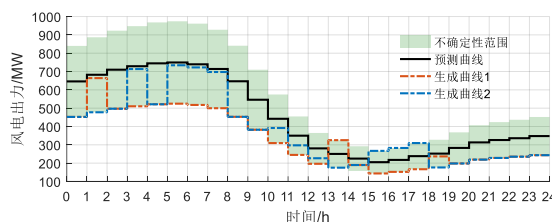
对比项	传统方法	所提方法
负荷电量/MWh	5516.88	5520.92
风电发电量/MWh	1531.18	1513.36
机组发电量/MWh	3985.70	4007.56
预测场景下总成本/\$	137377.92	155077.92
预测场景下启停成本/\$	21620	17000
预测场景下燃料成本/\$	115757.92	138077.92
启停次数	2	3
机组在线时长/h	48	59
鲁棒性	71.35%	99.40%

- 由生成场景，连续时间方法能够计及超分辨率随机性
- 增加部分成本，换来更高的鲁棒性

### ◆ IEEE RTS79系统



最大负荷2850MW,  
节点2、14个增设风电,  
总容量1000MW



对比项	传统方法	所提方法
负荷电量/MWh	60706.99	60751.52
预测风电量/MWh	10974.03	10846.76
预测场景下机组发电量/MWh	49732.96	49904.75
预测场景下总成本/\$	579145.44	606358.07
预测场景下启停成本/\$	16500	15000
预测场景下燃料成本/\$	562645.44	591358.07
启停次数	11	10
机组在线时长/h	398	434
鲁棒性	43.42%	98.41%

- 未超分辨率不确定性, 鲁棒性**46.42%**, 与14节点算例对比, 超分辨率随机性影响显著
- 计及超分辨率不确定性后, 鲁棒性**98.41%**, 鲁棒性得到显著提升

主  
要  
内  
容

1、研究背景

2、连续时间鲁棒机组组合

3、求解方法

4、算例分析

5、结论与展望

## 结论：

- 当风电渗透率较低时，超分辨率风电出力不确定性影响不显著，**所提方法能够得到与传统方法相似的结果；**
- 随着风电渗透率的增加，超分辨率风电出力不确定性影响逐渐显著，**传统方法给出的调度结果无法保障足够的鲁棒性，存在较大的安全隐患；**
- 所提方法能够充分计及超分辨率风电出力不确定性，以牺牲部分经济性为代价，**显著提高调度方案的鲁棒性。**

## 展望：

- 如何实现100%鲁棒
- 鲁棒性与经济性的协调考虑



**汇报完毕，  
请多指导，  
谢谢大家！**